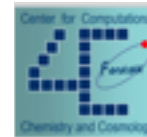




SCUOLA
NORMALE
SUPERIORE



First stars, first black holes

Andrea Ferrara

4C - Center for Computational Chemistry and Cosmology

Scuola Normale Superiore, Pisa, Italy

&

Kavli IPMU, Tokyo, Japan

DAVID

The **D**ark **A**ges **V**irtual **D**epartment

<http://www.arcetri.astro.it/twiki/bin/view/DAVID/WebHome>



S. Bianchi
INAF/Arcetri



B. Ciardi
MPA



P. Dayal
IfA Edinburgh



C. Evoli
DESY Hamburg



A. Mesinger
SNS Pisa



A. Ferrara
SNS Pisa



S. Gallerani
SNS Pisa



F. Iocco
IAP



F. Kitaura
Potsdam



A. Aykutalp
SNS Pisa



S. Pandolfi
DARK



A. Maselli
INAF/Arcetri



R. Salvaterra
INAF/Milano



S. Salvadori
Groningen



S. Baek
SNS Pisa



R. Schneider
INAF/Rome



L. Tornatore
INAF/Trieste



M. Valdes
SNS Pisa

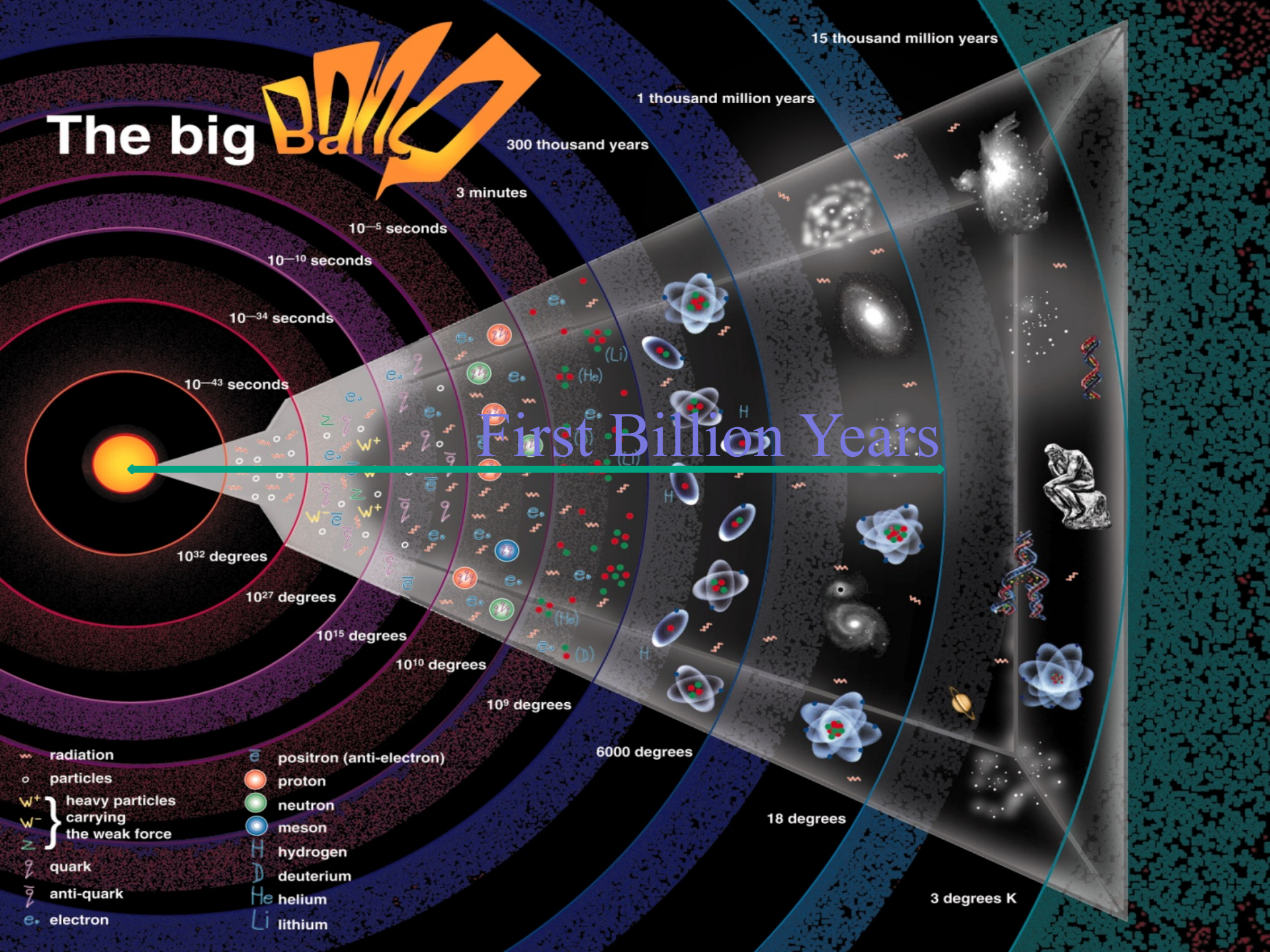


R. Valiante
Univ. Firenze



L. Vallini
SNS Pisa

The big Bang



First Billion Years

- radiation
- particles
- W^+ } heavy particles carrying the weak force
- W^- }
- q quark
- \bar{q} anti-quark
- e^- electron

- e^+ positron (anti-electron)
- proton
- neutron
- meson
- H hydrogen
- D deuterium
- He helium
- Li lithium

15 thousand million years

1 thousand million years

300 thousand years

3 minutes

10^{-5} seconds

10^{-10} seconds

10^{-34} seconds

10^{-43} seconds

10^{32} degrees

10^{27} degrees

10^{15} degrees

10^{10} degrees

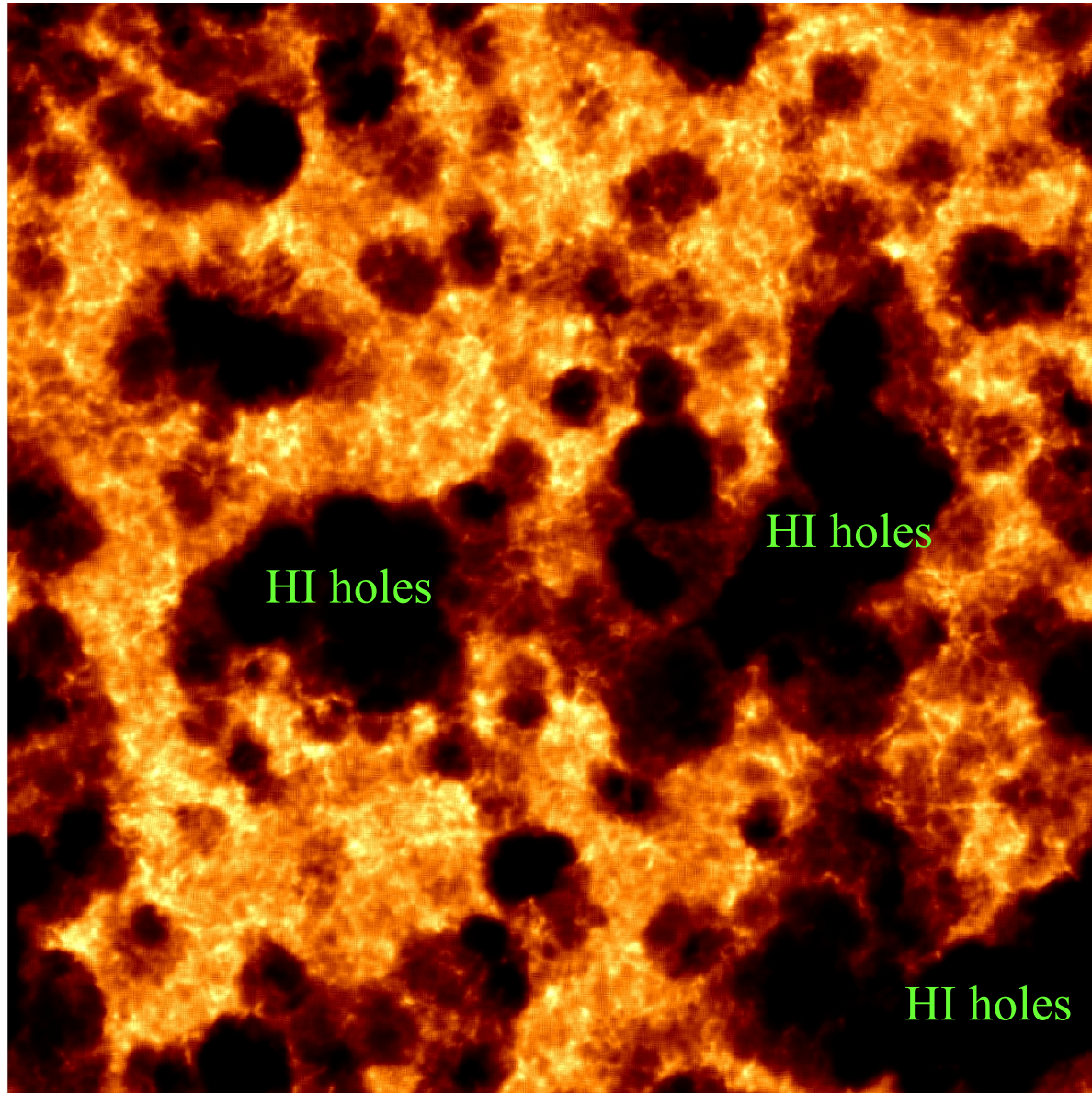
10^9 degrees

6000 degrees

18 degrees

3 degrees K

HI density map in a 400 cMpc box @ $z=8$



SOURCE LIST

- Stars: Pop II and/or (massive) Pop III

In what proportion ? $N_\gamma = (4, 30, 100) \times 10^3$ phot/baryon into stars

- Quasars

Too rare, too late; key sources for HeII reionization

- Supernova explosions

Filling factor too small; Compton-y limited

- Dark Matter: decays/annihilations

Light particles (LDM, sterile neutrinos) can produce a $\tau_e < 0.01$

Heavy particles (neutralinos, gravitinos) totally negligible

- Mini-quasars

Limited by unresolved SXR

Only 3 phot/baryon in IGM in 10 Salpeter times

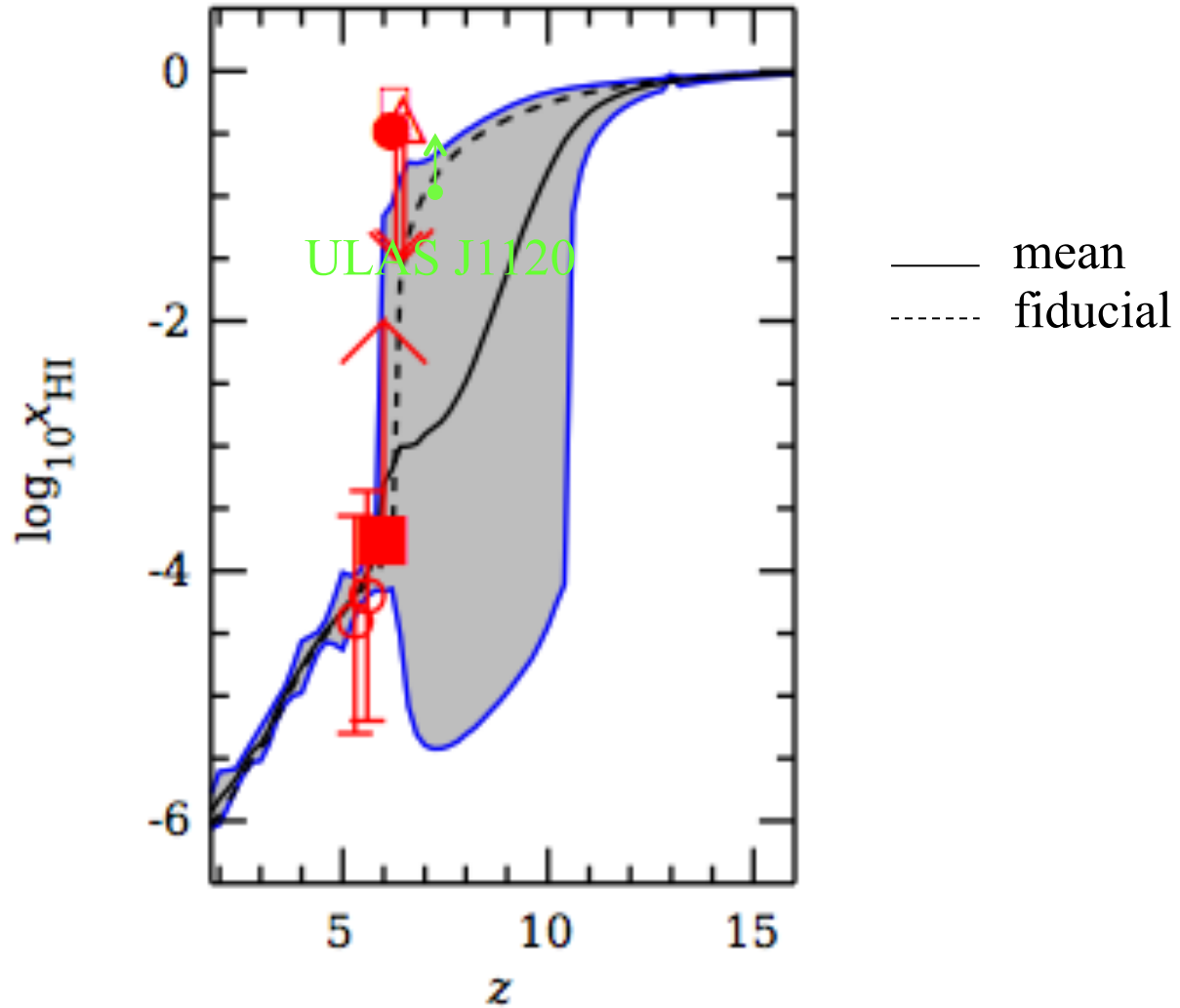
- Structure formation

EXPERIMENTAL CONSTRAINTS

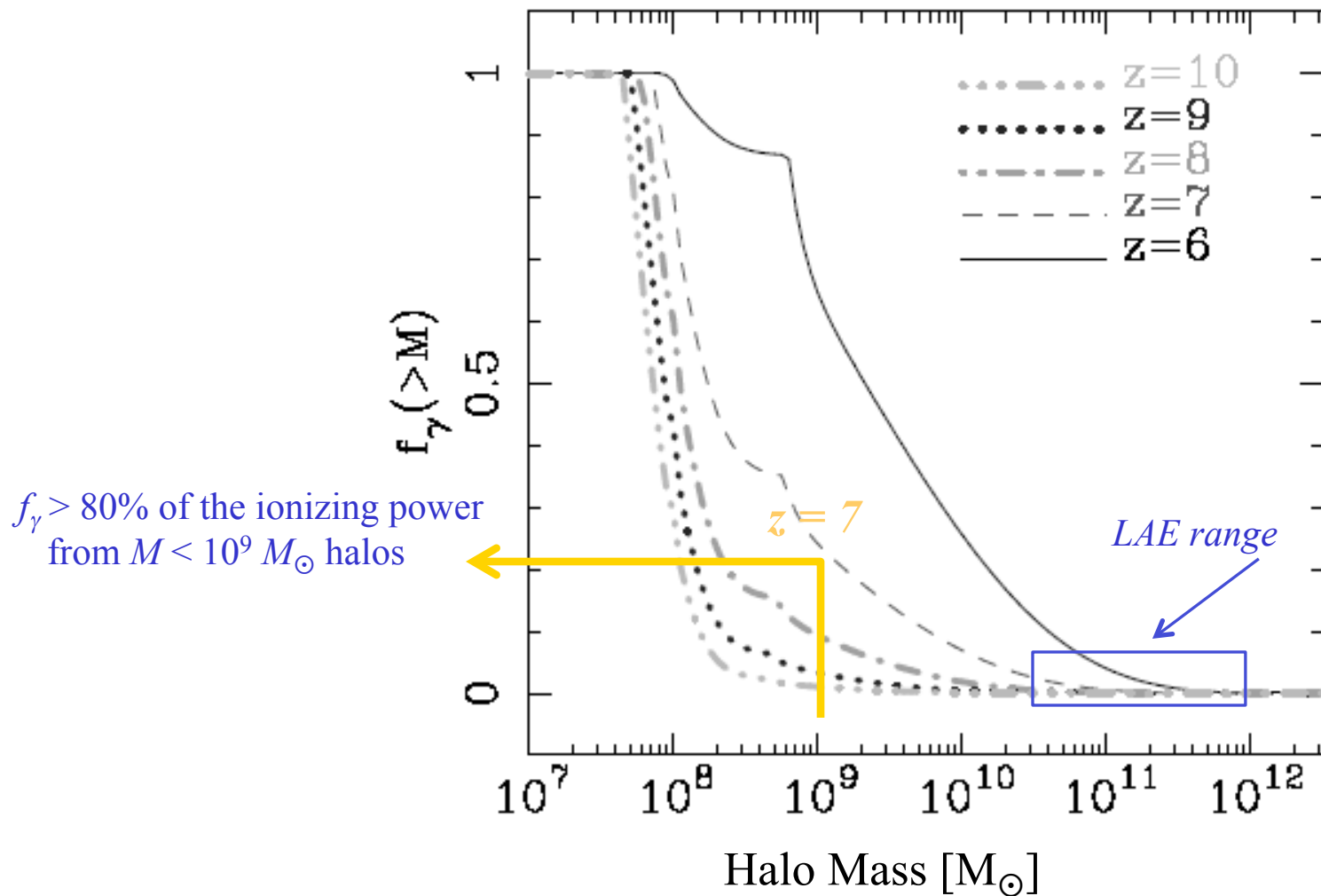
- Ly α Gunn-Peterson opacity
- CMB: e.s. optical depth + TT, TE, EE power spectra
- Ly β Gunn-Peterson opacity
- UV Background intensity
- Redshift evolution of Lyman Limit Systems
- IGM Temperature evolution
- IGM Metallicity
- Cosmic star formation history
- High- z galaxy counts
- Near Infrared Background

NEUTRAL H EVOLUTION

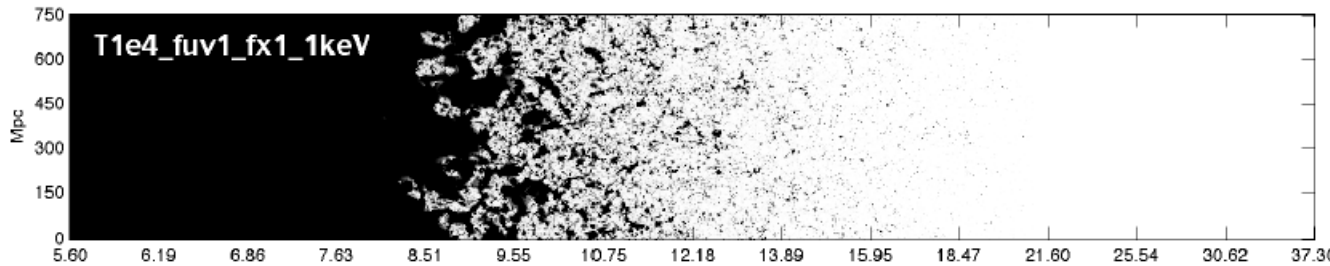
Neutral hydrogen fraction



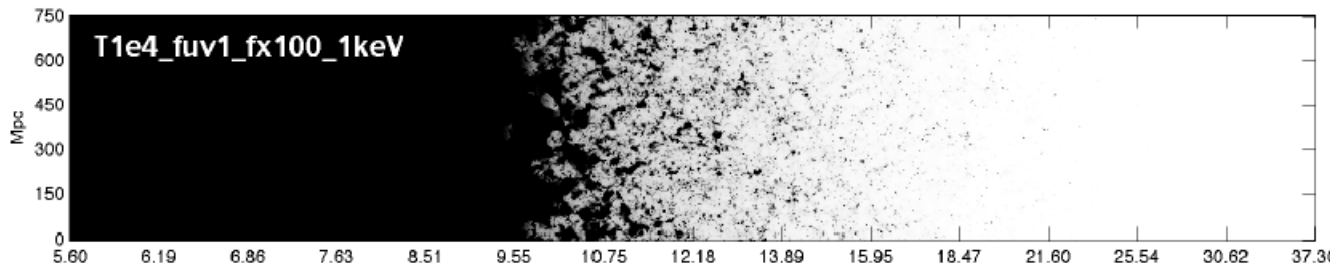
IONIZING PHOTON BUDGET



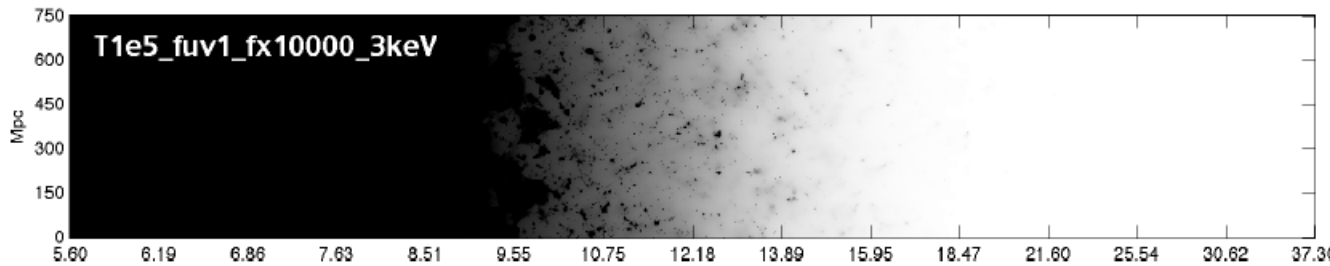
REIONIZATION HISTORY



$N_X = 0.4$
Best fit model, $\tau_e = 0.092$
“fiducial”



$N_X = 40$
 $\tau_e = 0.107$

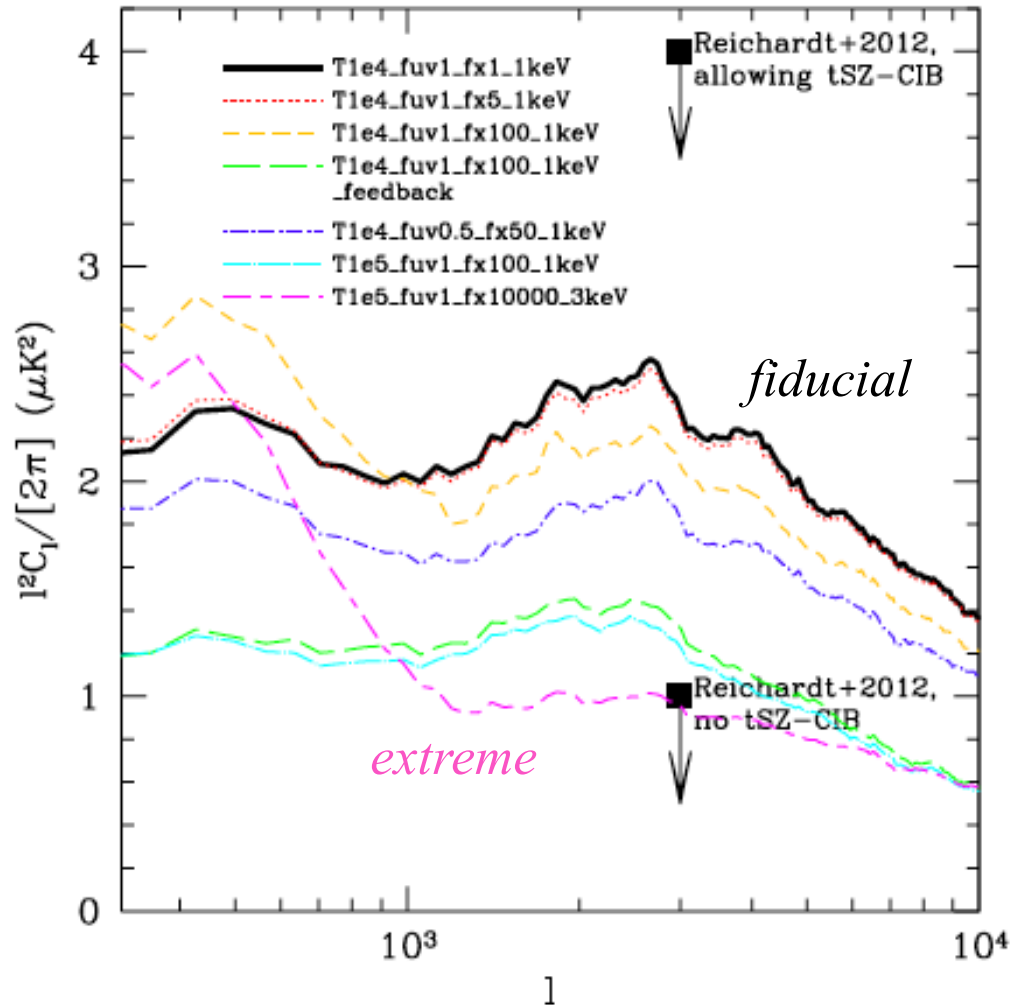


$N_X = 4000 +$
 radiative feedback
 saturates SXRb, $\tau_e = 0.108$

“extreme”

Redshift

KINETIC SZ SIGNAL

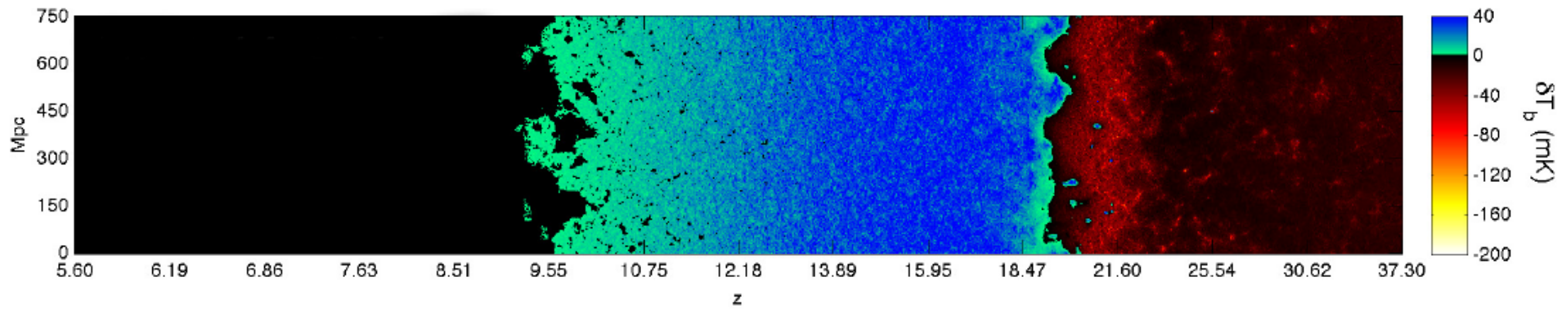
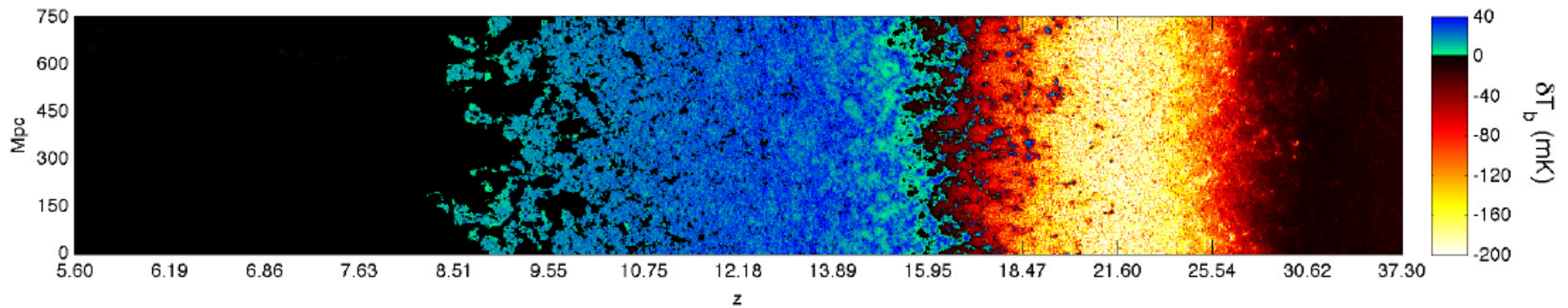


REIONIZATION: THE FUTURE

Valdes, Evoli, Mesinger, AF & Yoshida 2013

21 CM SIGNAL

fiducial



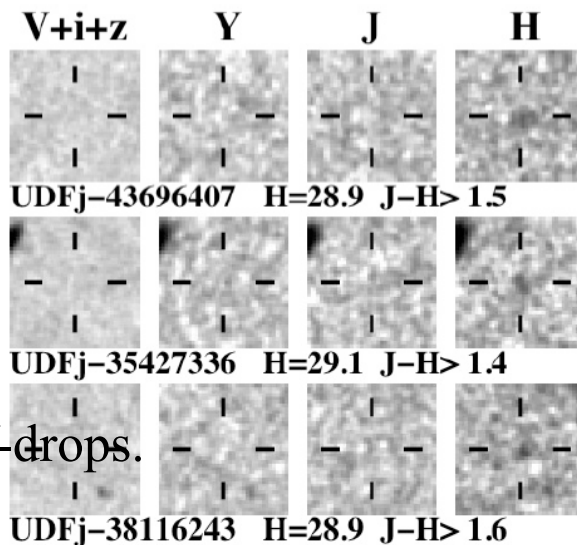
extreme



What about galaxies ?

THE FIRST GALAXIES AS REIONIZATION SOURCES

SEARCH TECHNIQUES

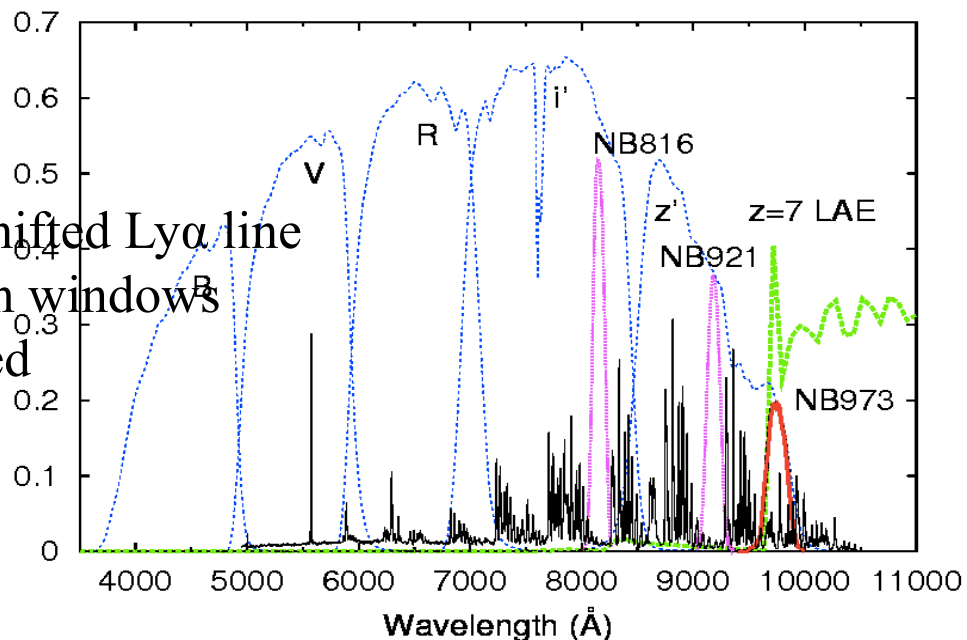


DROP-OUTS

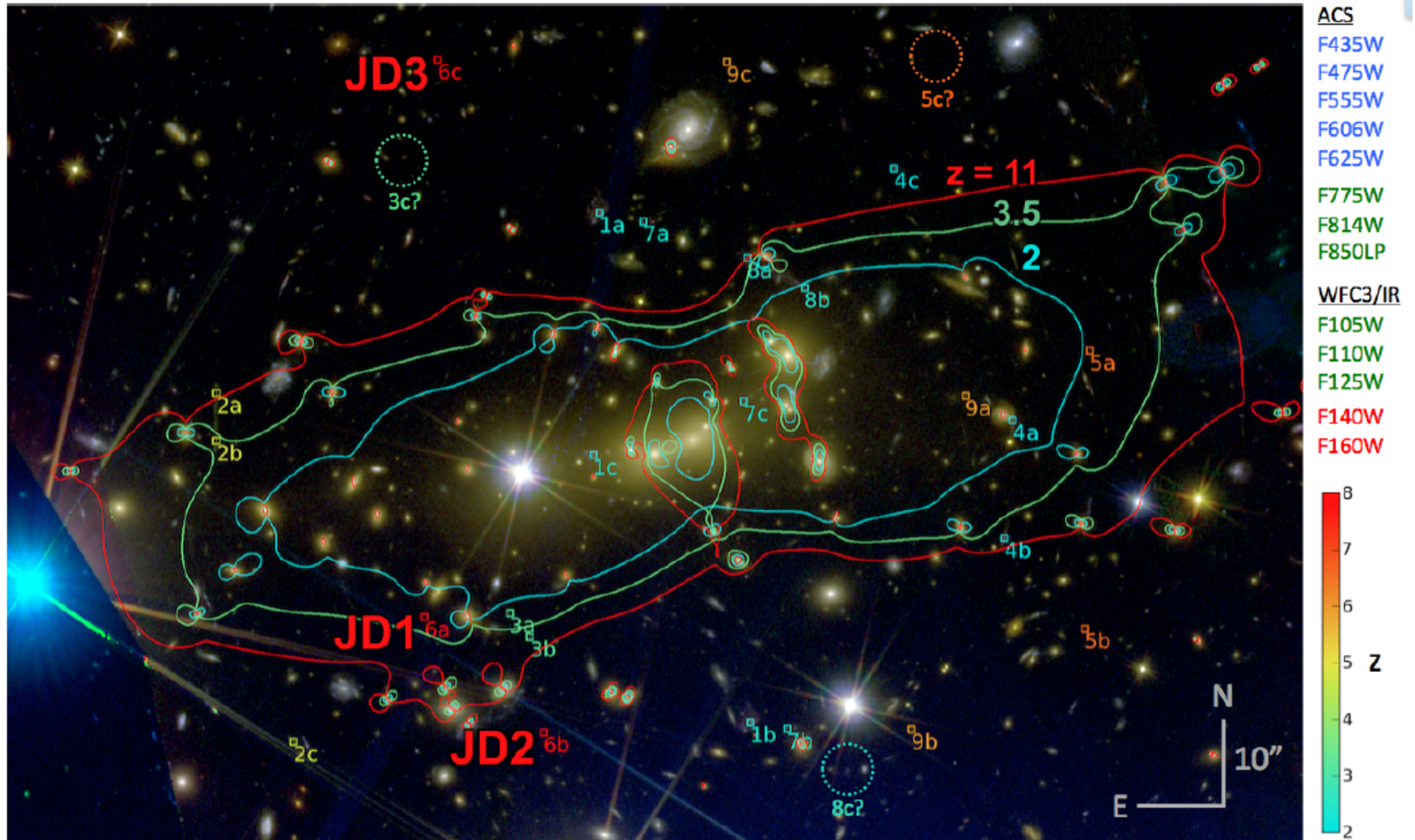
- Sharp drop in flux shortwards than Ly α line
- Finding galaxy candidates at $z > 6$: using i , z , Y , J -drops.
- Contamination by stars and low- z ellipticals

LYMAN ALPHA EMITTERS

- Narrow band filters tuned on redshifted Ly α line
- Few and narrow atmospheric clean windows
- Not all spectroscopically confirmed



THE MOST DISTANT GALAXY $z=11$

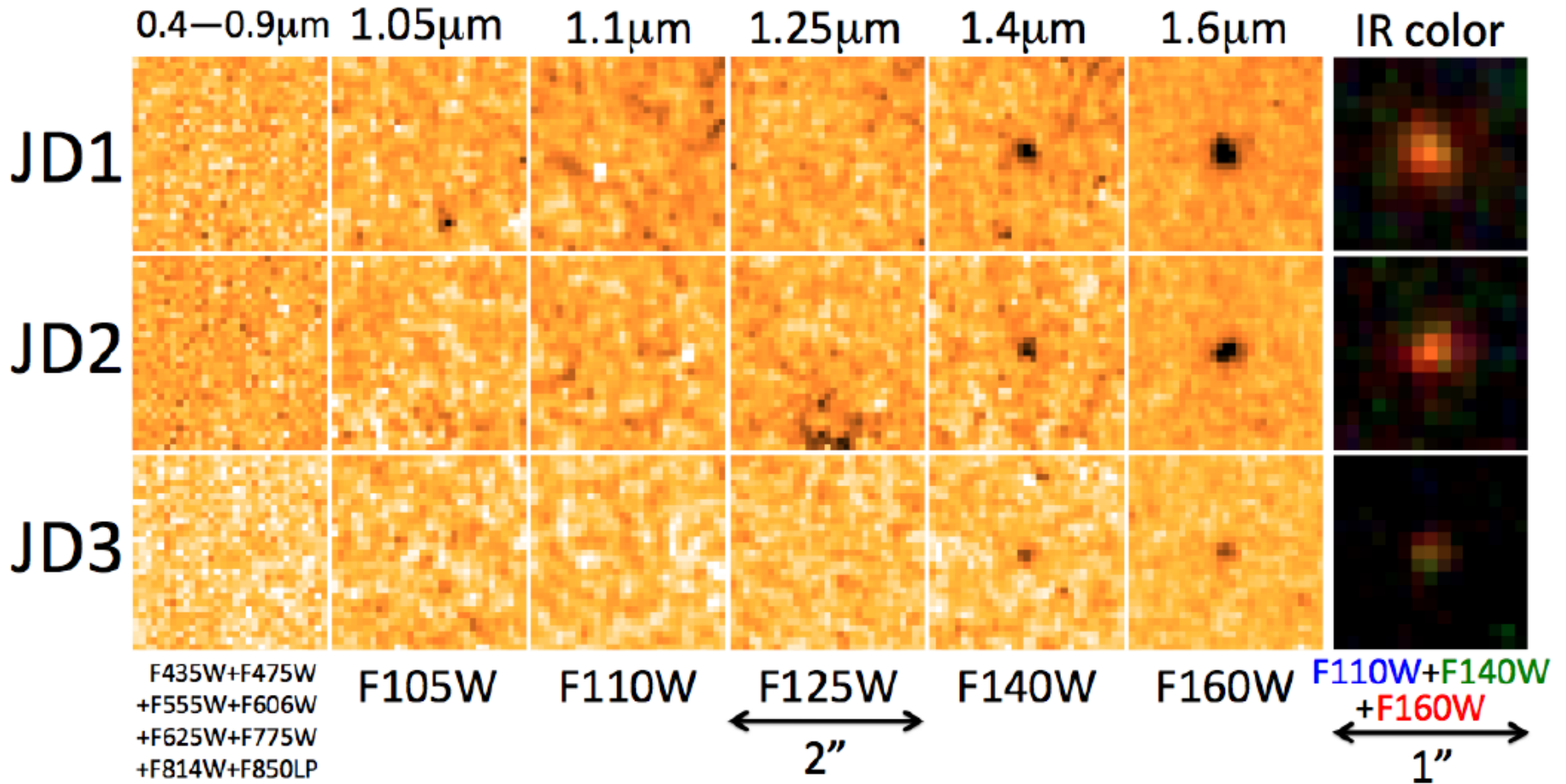


HIGH-Z STAR FORMATION

Coe+12

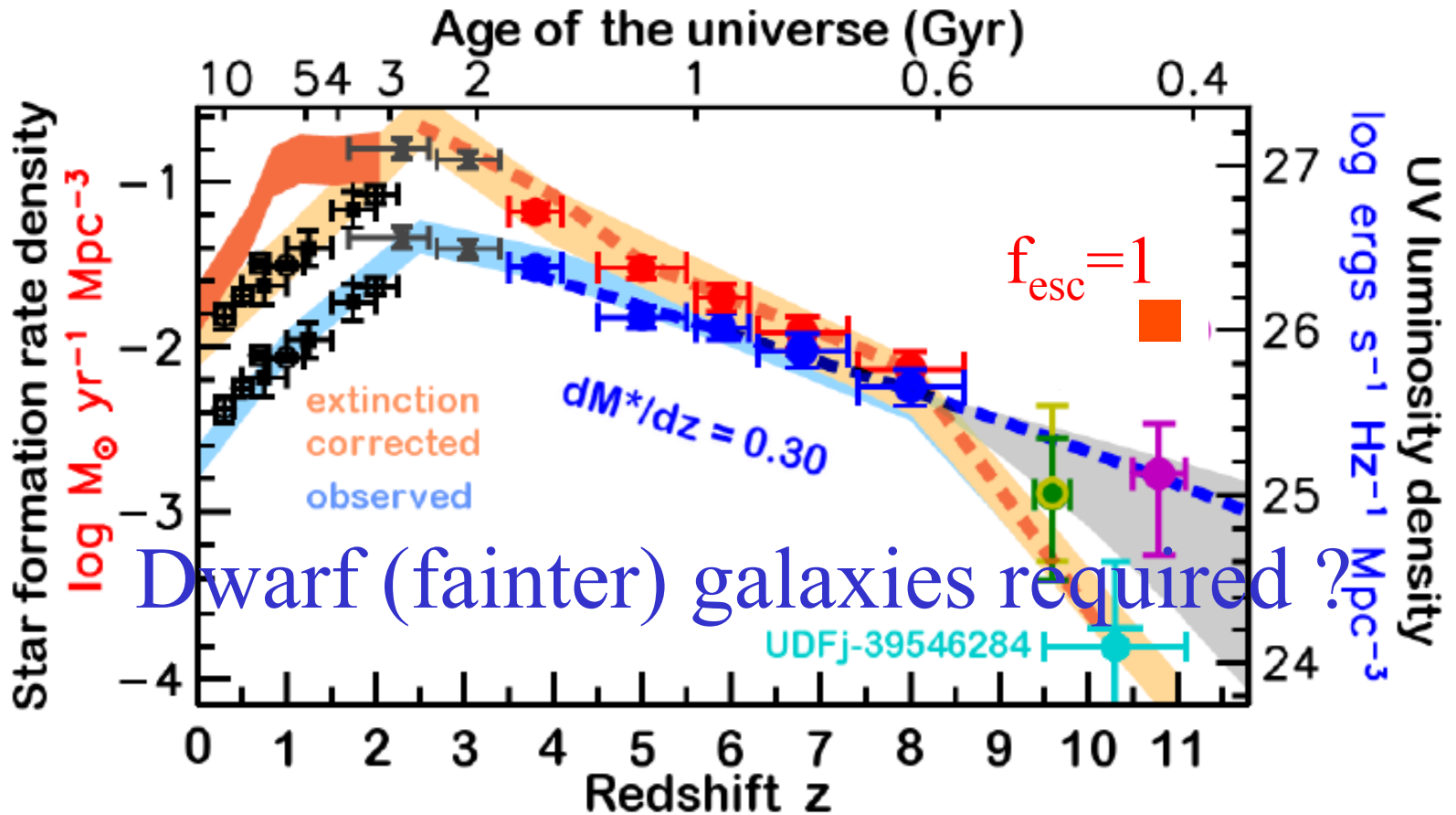
THE MOST DISTANT GALAXY Z=11

HST CLASH Survey (19 orbits)

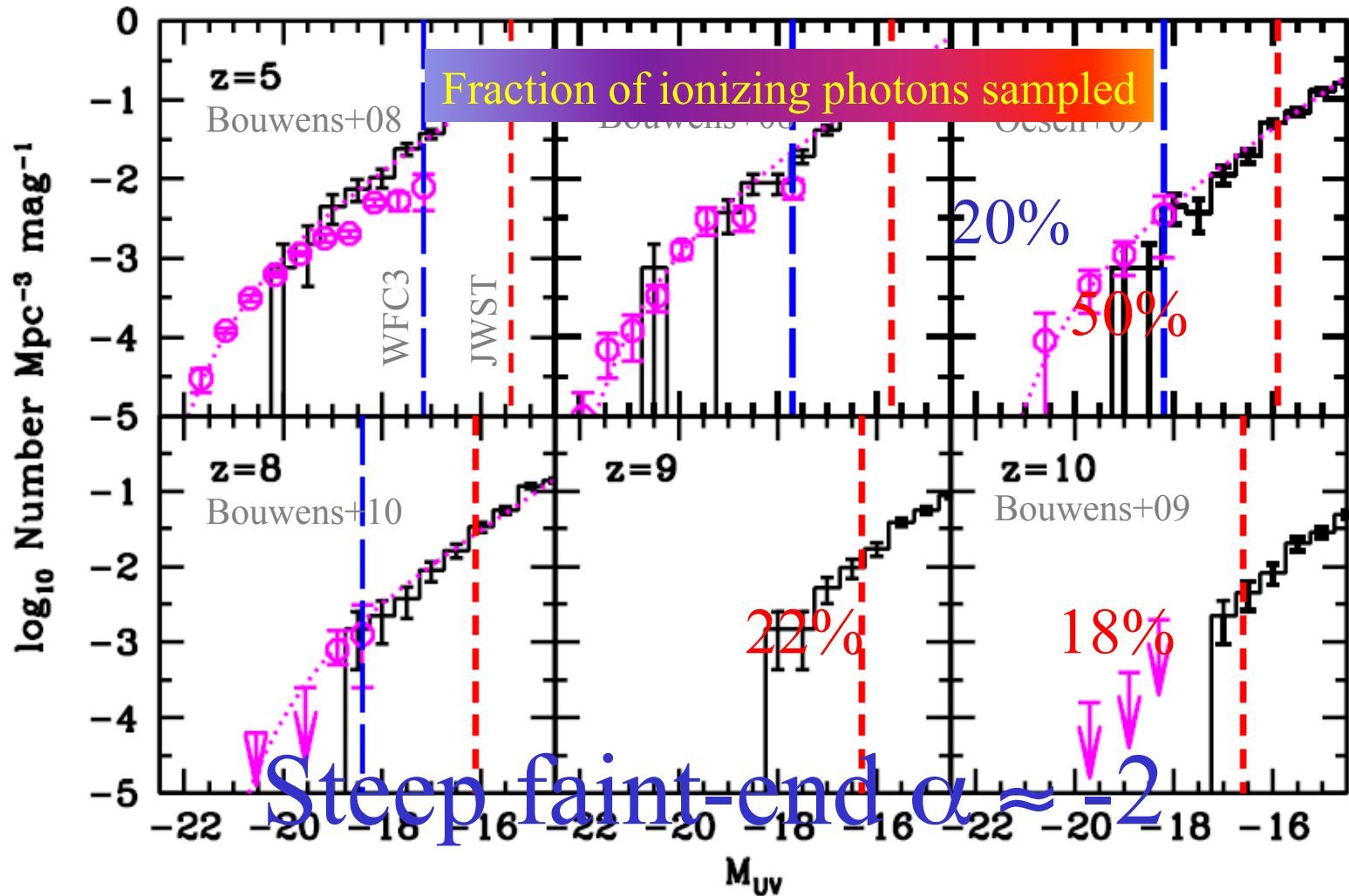


DROPOUTS CONSTRAINTS

$$\dot{\rho}_{\text{crit}} = (0.018 M_{\odot} \text{ yr}^{-1} \text{ Mpc}^{-3}) \left[\frac{(1+z)}{8} \right]^3 \left[\frac{C_H/3}{f_{\text{esc}}/0.2} \right] \left[\frac{0.004}{Q_{\text{LyC}}} \right] T_4^{-0.845}$$



HIGH-Z LUMINOSITY FUNCTIONS



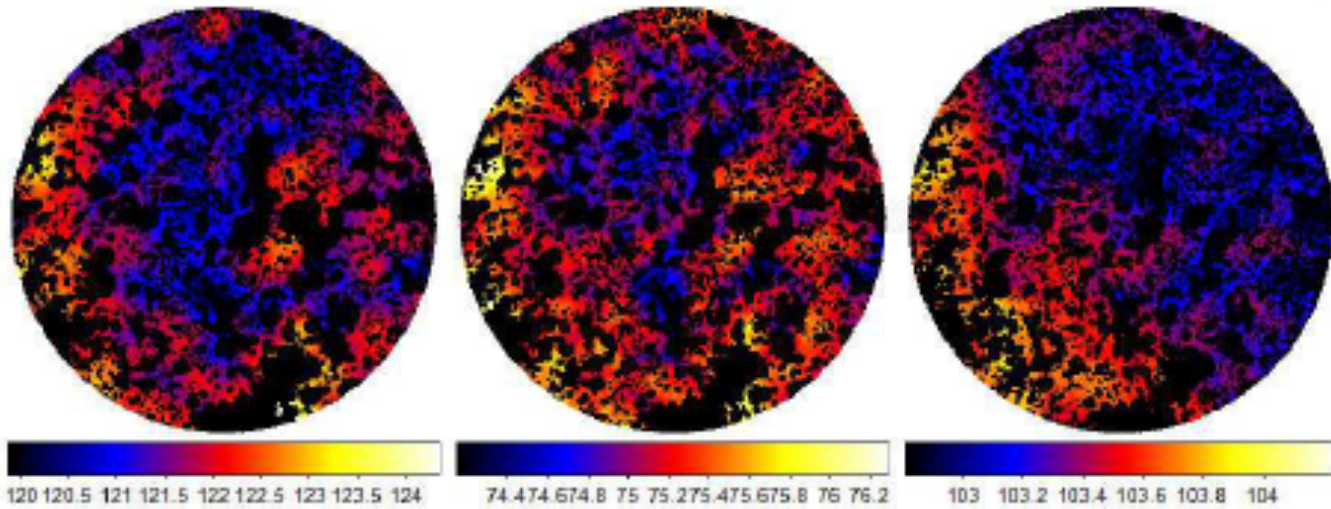
NIRB FLUCTUATIONS

AKARI @ 2.4 μm

3.2 μm

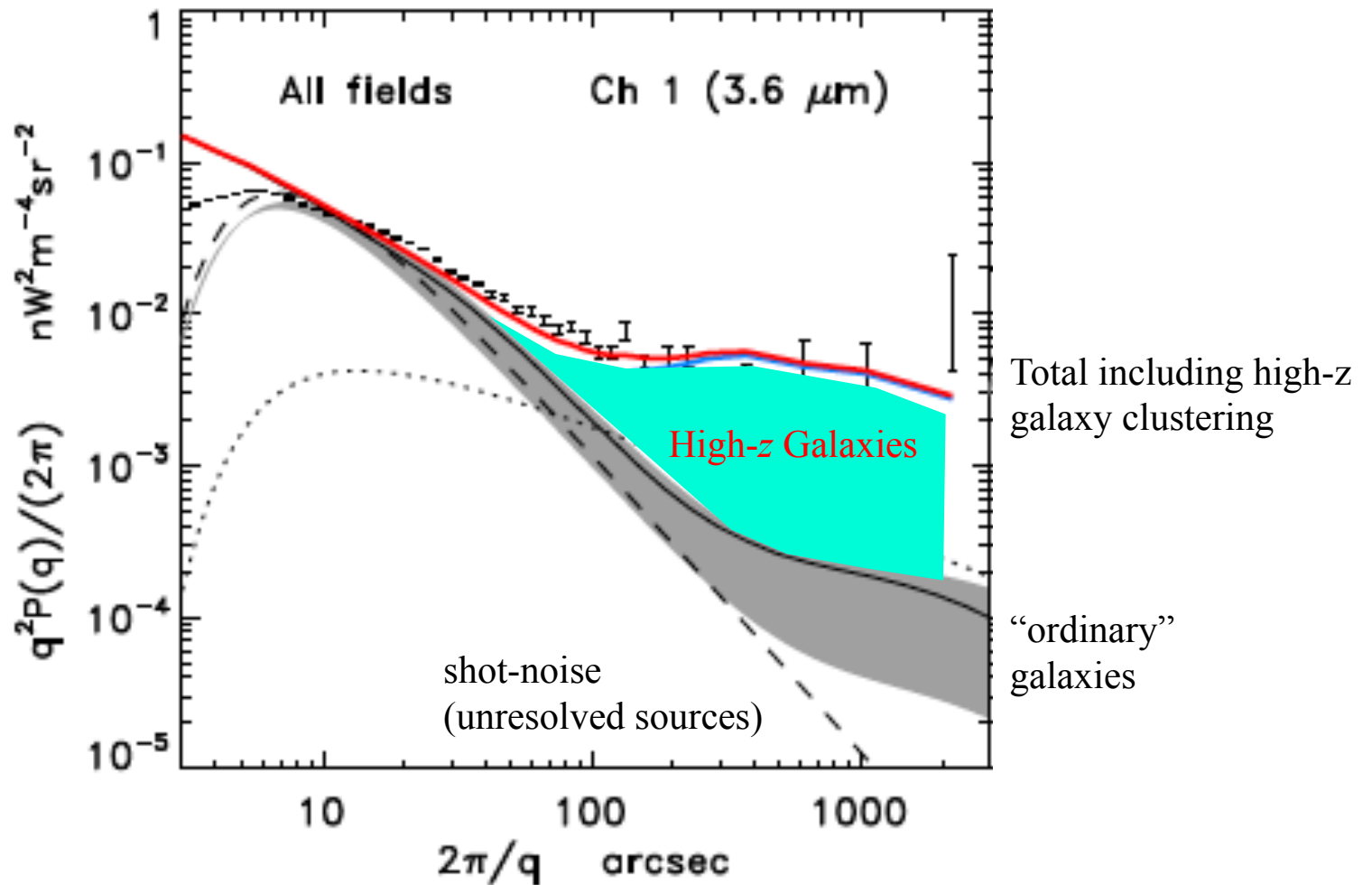
4.1 μm

600 arcsec

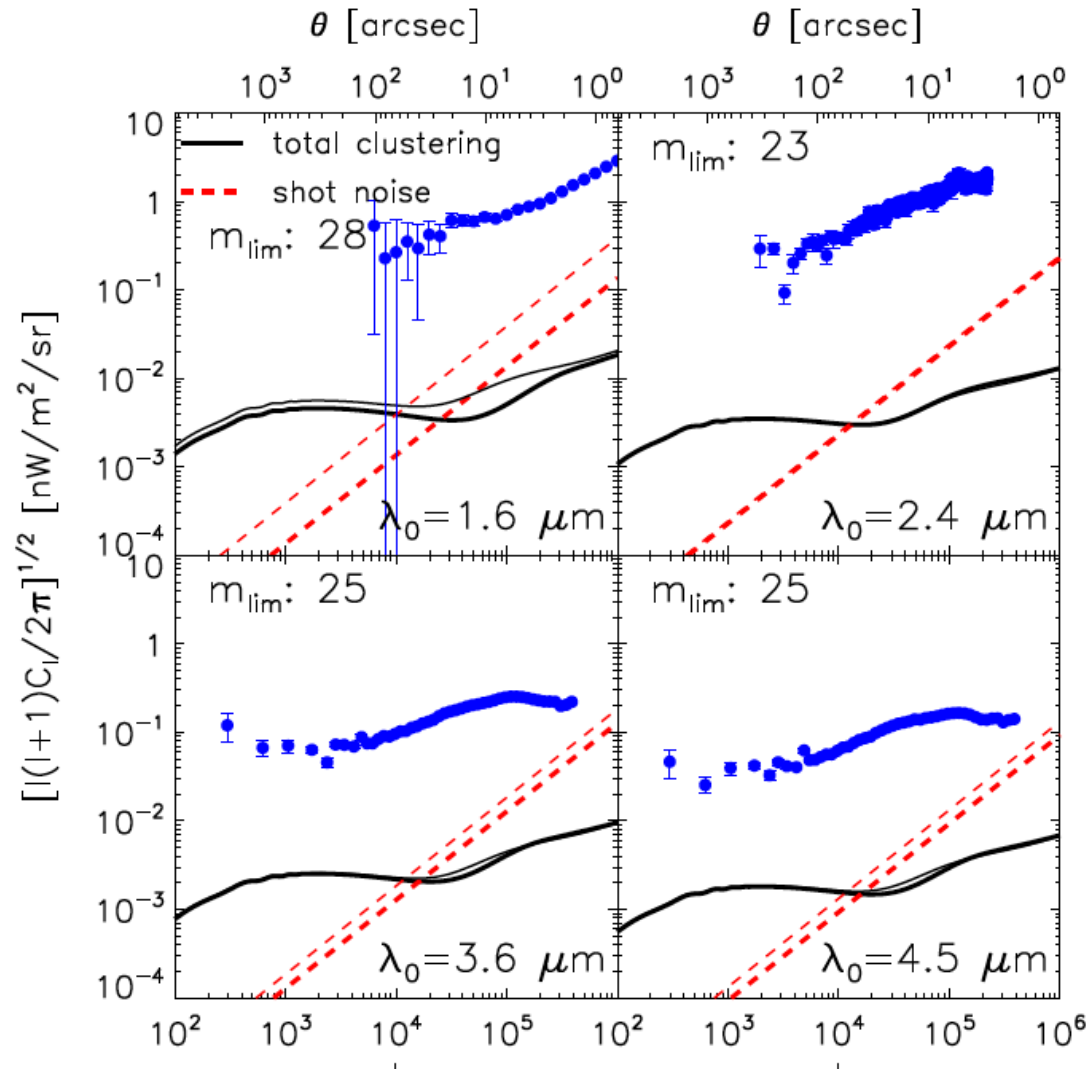


$\text{nW m}^{-2} \text{sr}^{-1}$

NIRB FLUCTUATIONS

Spitzer @ 3.6 μm 

NIRB FLUCTUATIONS



High- z galaxies cannot reproduce
NIRB fluctuations



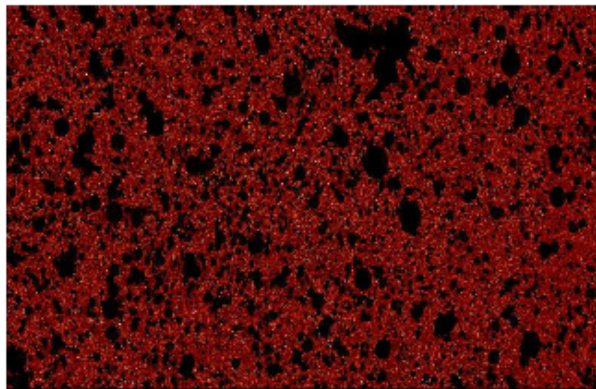
Cappelluti+12

XRB-NIRB CORRELATION



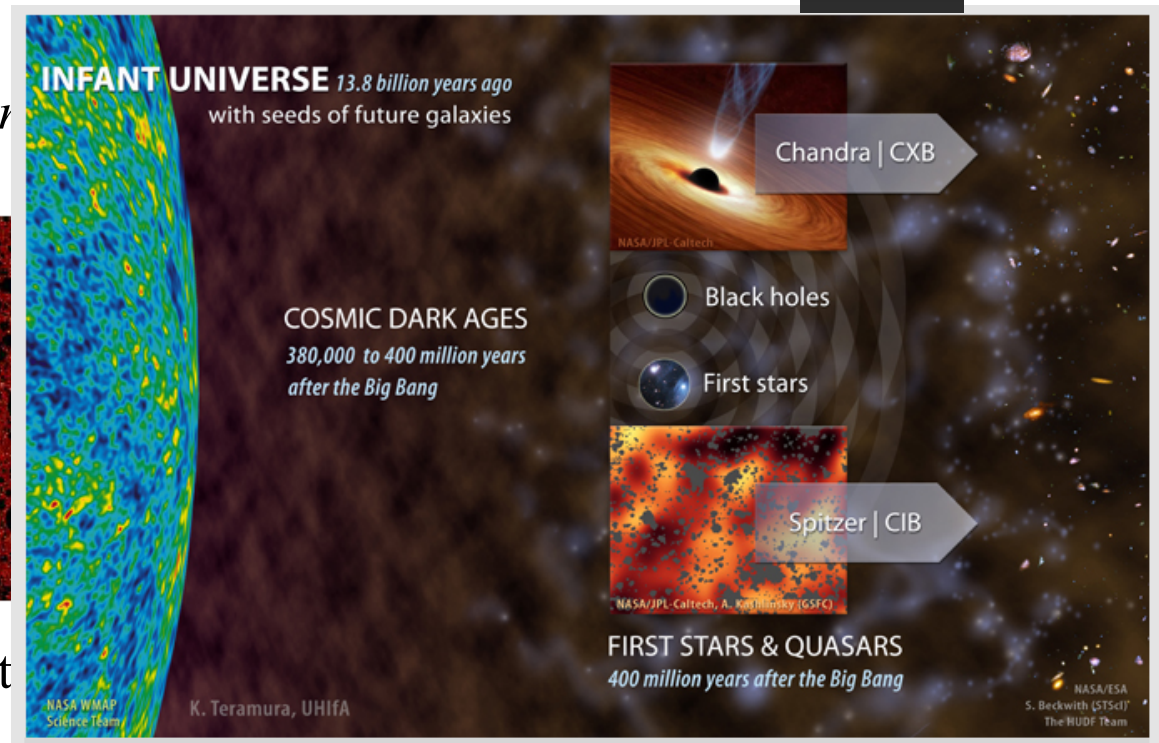
News
06.05.13

0.5–2 keV

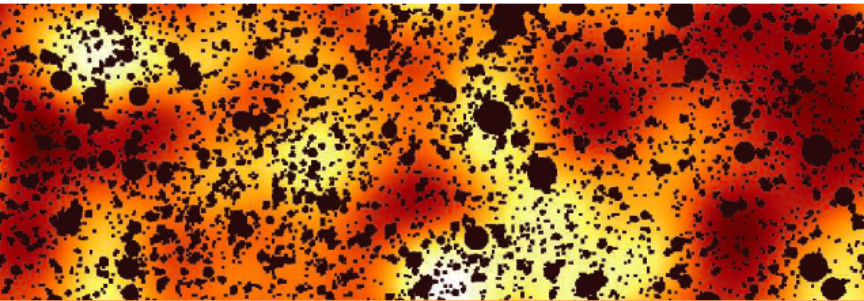


X-ray 0.5-2 keV fluctuat

Char



Science, 14 JUNE 2013, 340, 6138



ASTRONOMY

Cosmic Correlation

The cosmic infrared background, the integrated infrared light produced by all extragalactic sources in the universe, has been found to exceed the expected emissions from known galaxies, including the most distant ones. To understand the nature of the populations responsible for this excess, Cappelluti *et al.* cross-correlated the fluctuations in the infrared and x-ray backgrounds. The infrared background is sensitive to star-forming populations, whereas the x-ray background probes radiation from accreting black holes and thermal x-ray emission from hot ionized gas.



SIMULAZIONI CONFERMANO I DATI DI SPITZER E AKARI

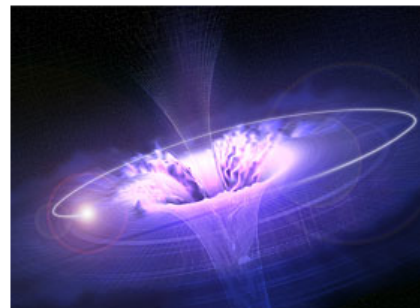
Mi piace 10 +1 0

Taglia media per i buchi neri primordiali

Sarebbero i buchi neri con masse dell'ordine di centomila volte quella del Sole, formati quando l'Universo aveva meno di 300 milioni di anni e direttamente dal collasso dei primi aloni di materia primordiale, le sorgenti responsabili delle fluttuazioni di radiazione infrarossa di fondo registrate dai satelliti Spitzer e AKARI. Questi i risultati di uno studio a cui ha partecipato anche Ruben Salvaterra dell'INAF.

di Marco Galliani

17/06/2013 17:48



Buchi neri e universo primordiale. Due argomenti di frontiera dell'astrofisica contemporanea, dove molto è ancora da scoprire e spiegare. È facile quindi immaginare quanto sia complesso avventurarsi contemporaneamente nel loro studio: ovvero indagare quanti erano, come erano e quale è stato il ruolo dei buchi neri nelle prime fasi dell'universo. Nei giorni scorsi un lavoro guidato da Nico Cappelluti dell'INAF ha gettato nuova luce sull'argomento, mettendo in evidenza come il numero di questi oggetti estremi tra le prime stelle fosse molto più elevato di quanto ritenuto finora (vedi la news di Media INAF [Moltissimi i buchi neri fra le prime stelle](#)). Un risultato ottenuto mettendo in relazione le fluttuazioni della radiazione di fondo cosmico nei raggi infrarossi con quelle registrate nei raggi X. Ora una nuova indagine guidata da Bin Yue, dell'Accademia Cinese delle Scienze e a cui ha partecipato **Ruben Salvaterra dell'INAF-**

IASF di Milano e Andrea Ferrara, della Scuola Normale Superiore di Pisa, fa un ulteriore passo in avanti per spiegare come questo inatteso affollamento di buchi neri nell'universo primordiale sia stato possibile. Il team, basandosi sui dati raccolti nell'infrarosso dai satelliti Spitzer della NASA e AKARI dell'agenzia spaziale giapponese JAXA, ha realizzato un modello teorico di formazione ed evoluzione dei buchi neri subito dopo il Big Bang, osservando dai dati della simulazione che la distribuzione e le proprietà della radiazione emessa sono in buon accordo con le osservazioni, sia nell'infrarosso che nei raggi X.

"Il nostro lavoro mostra come si possa spiegare l'esistenza di fluttuazioni nel vicino infrarosso e contemporaneamente nei raggi X come dovute all'emissione di buchi neri di massa intermedia (centomila volte la massa del Sole) nell'universo primordiale" spiega Salvaterra. "Questi buchi neri si sarebbero formati quando l'universo aveva meno di 300 milioni di anni, e direttamente dal collasso dei primi aloni di materia primordiale (ovvero una mistura di idrogeno ed elio) prodotta nel Big Bang. Il nostro modello dà conto del livello di fluttuazioni osservate nel vicino

INAF, 17 JUNE 2013

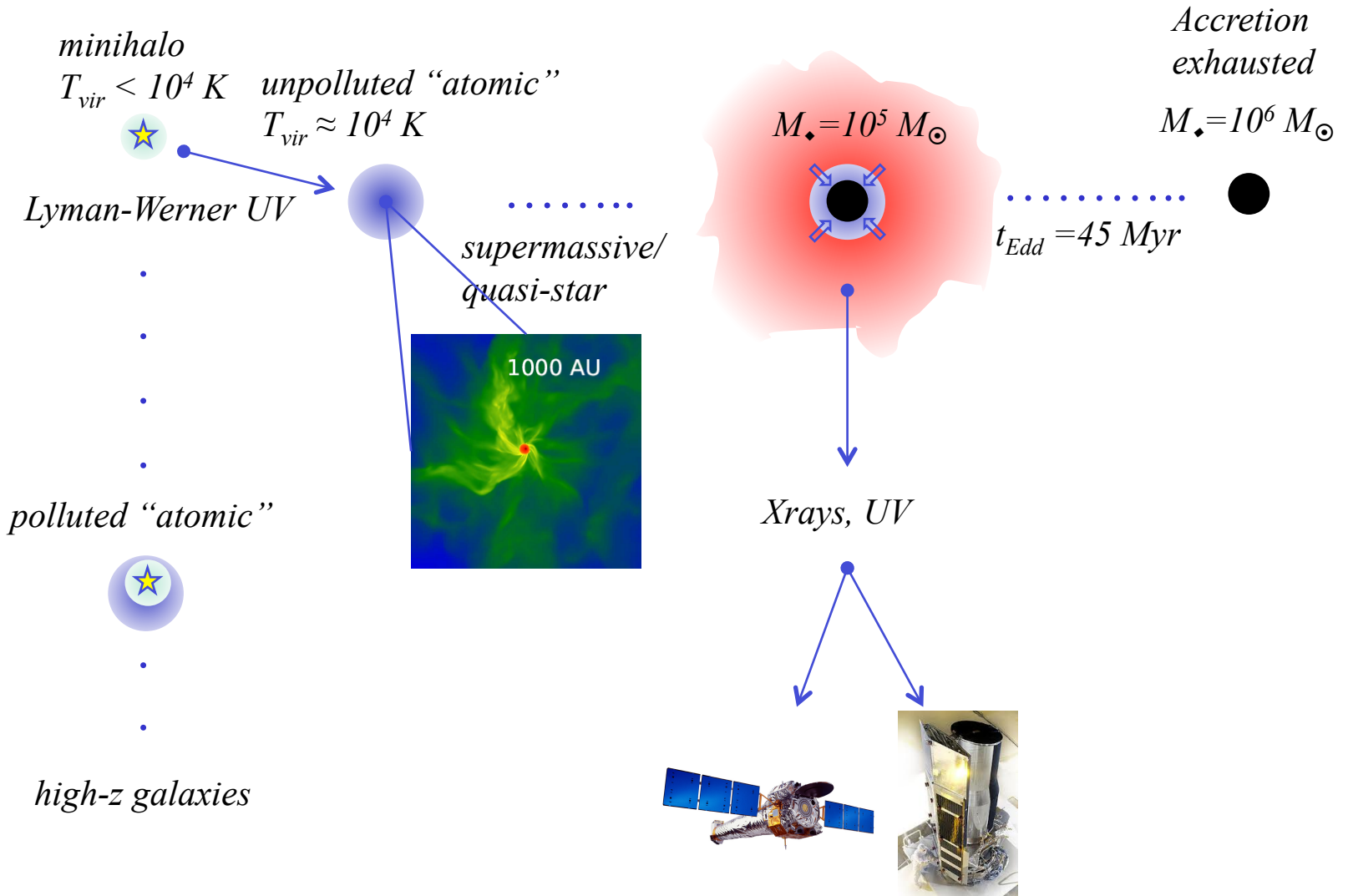
A black hole is depicted as a dark, spherical object at the center, surrounded by a complex structure of glowing blue and purple accretion disks and jets. The background is a dark space filled with stars. The text "First Black Holes ?" is overlaid in white serif font at the bottom center.

First Black Holes ?

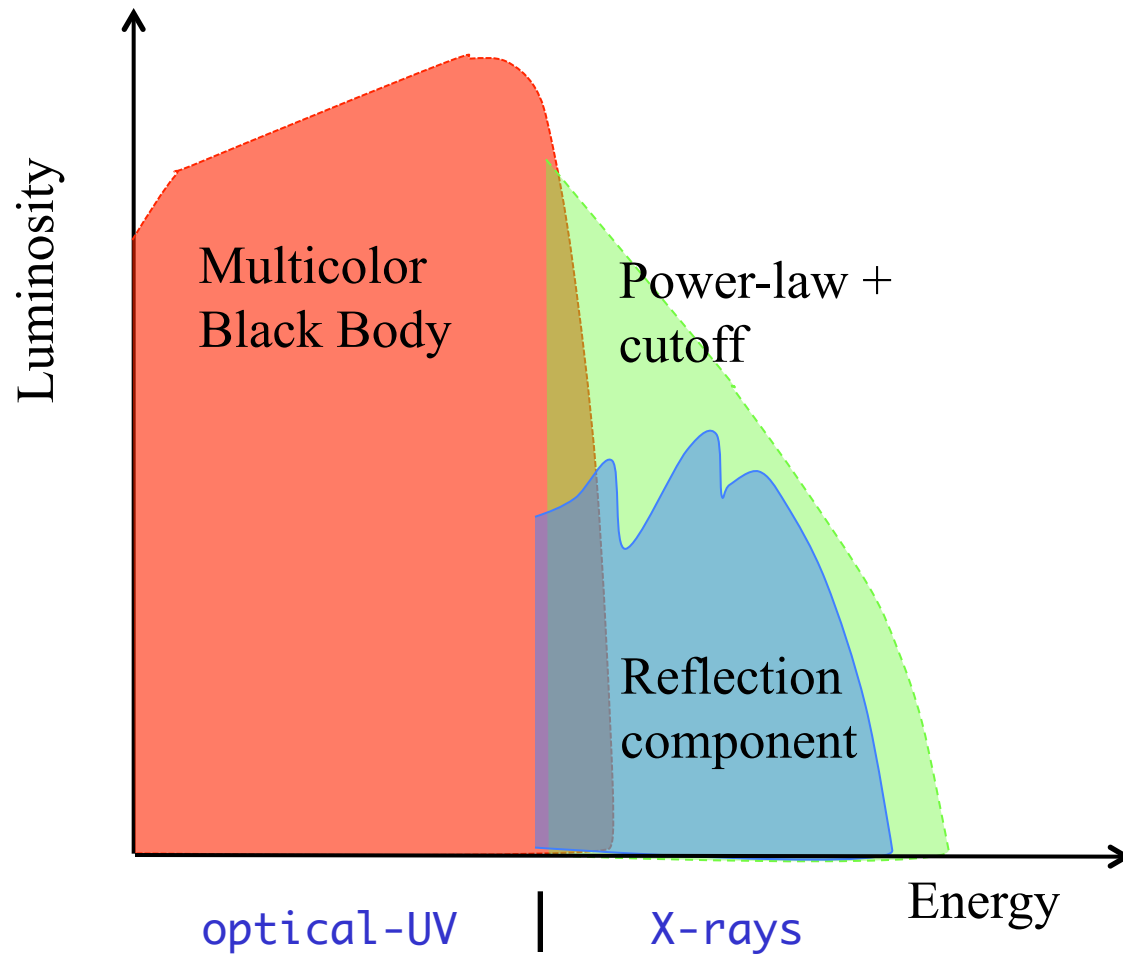
Yue, AF, Salvaterra, Xu, Chen 2013

FIRST BLACK HOLE ERA

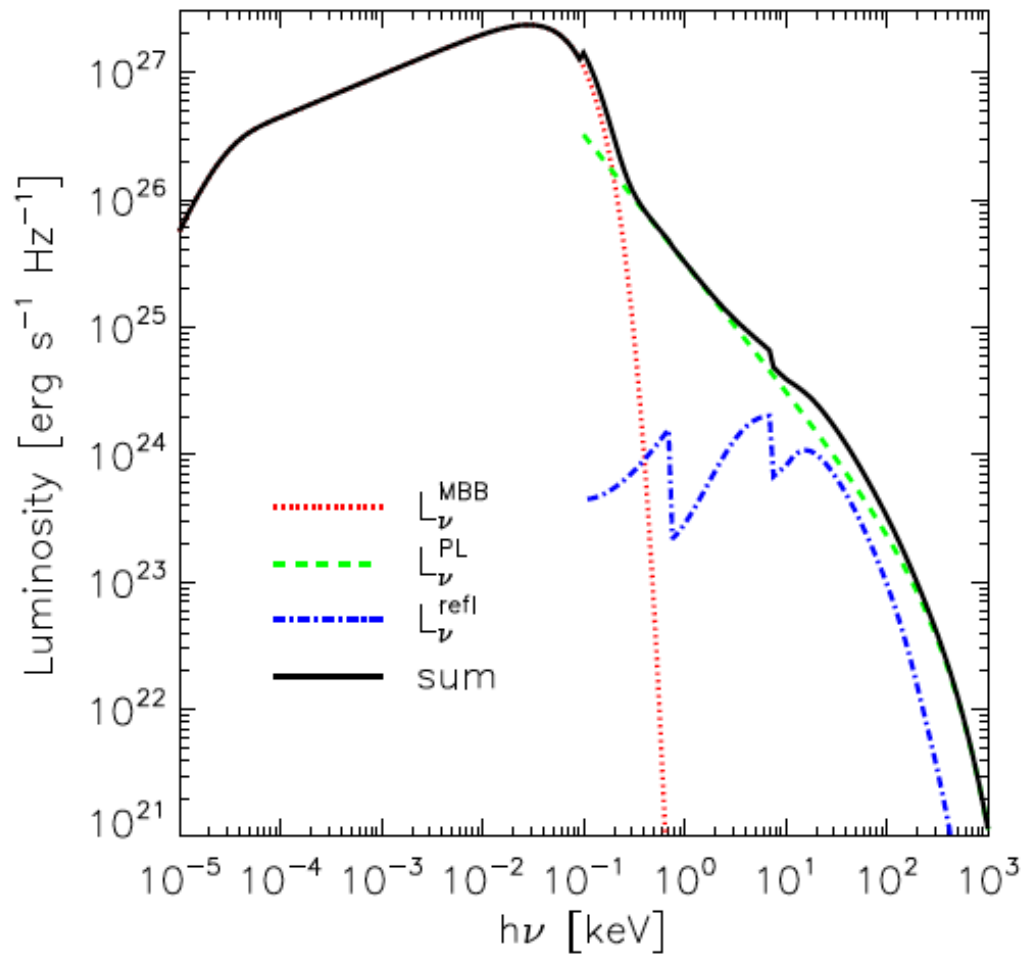
BH ERA $z > 12$



DCBH SPECTRUM

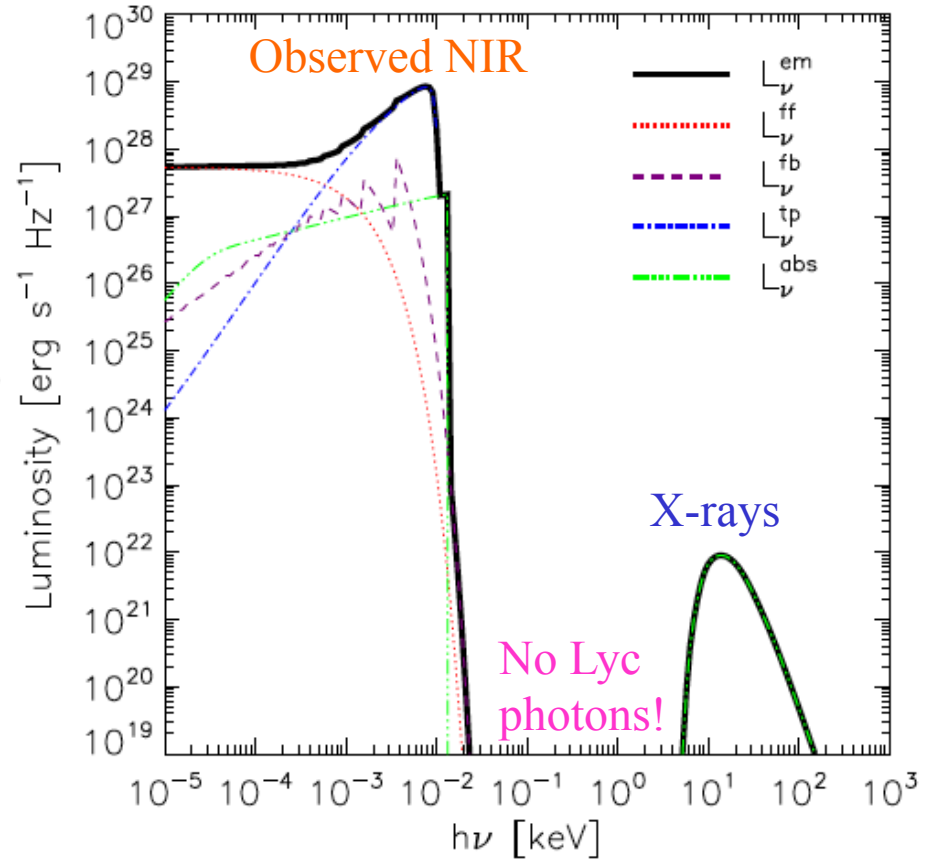
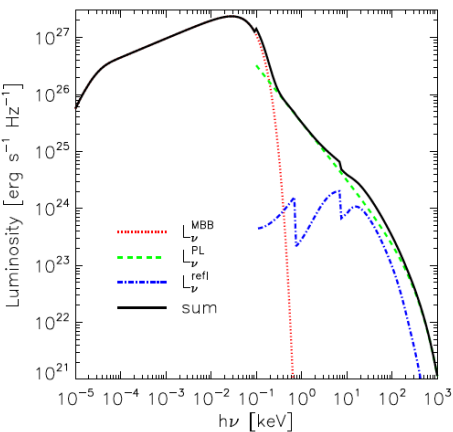
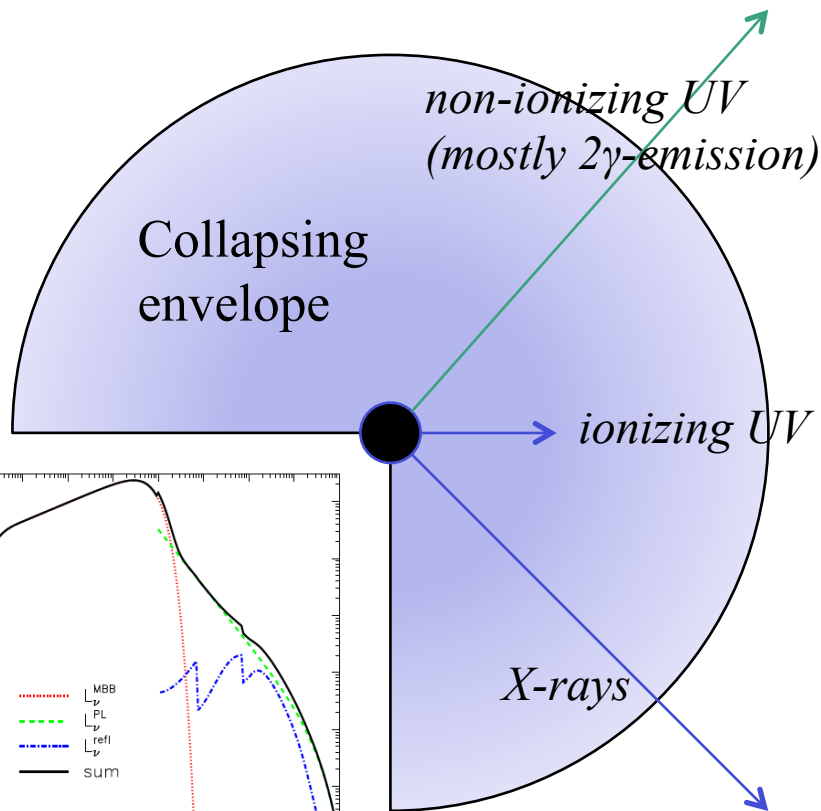


INTRINSIC SPECTRUM



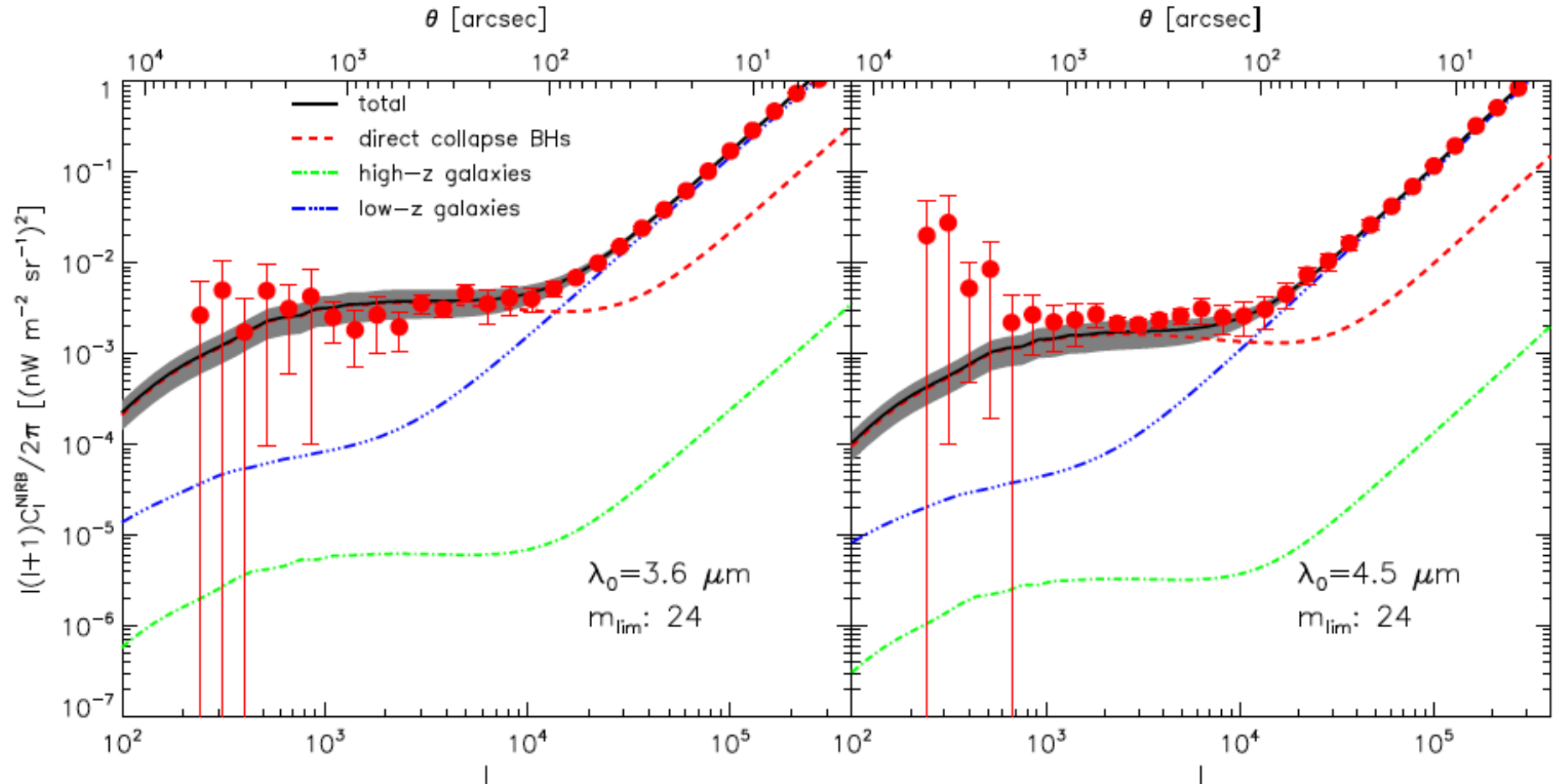
ABSORBED SPECTRUM

$N_H = 1.5 \times 10^{25} \text{ cm}^2$
(Compton thick)

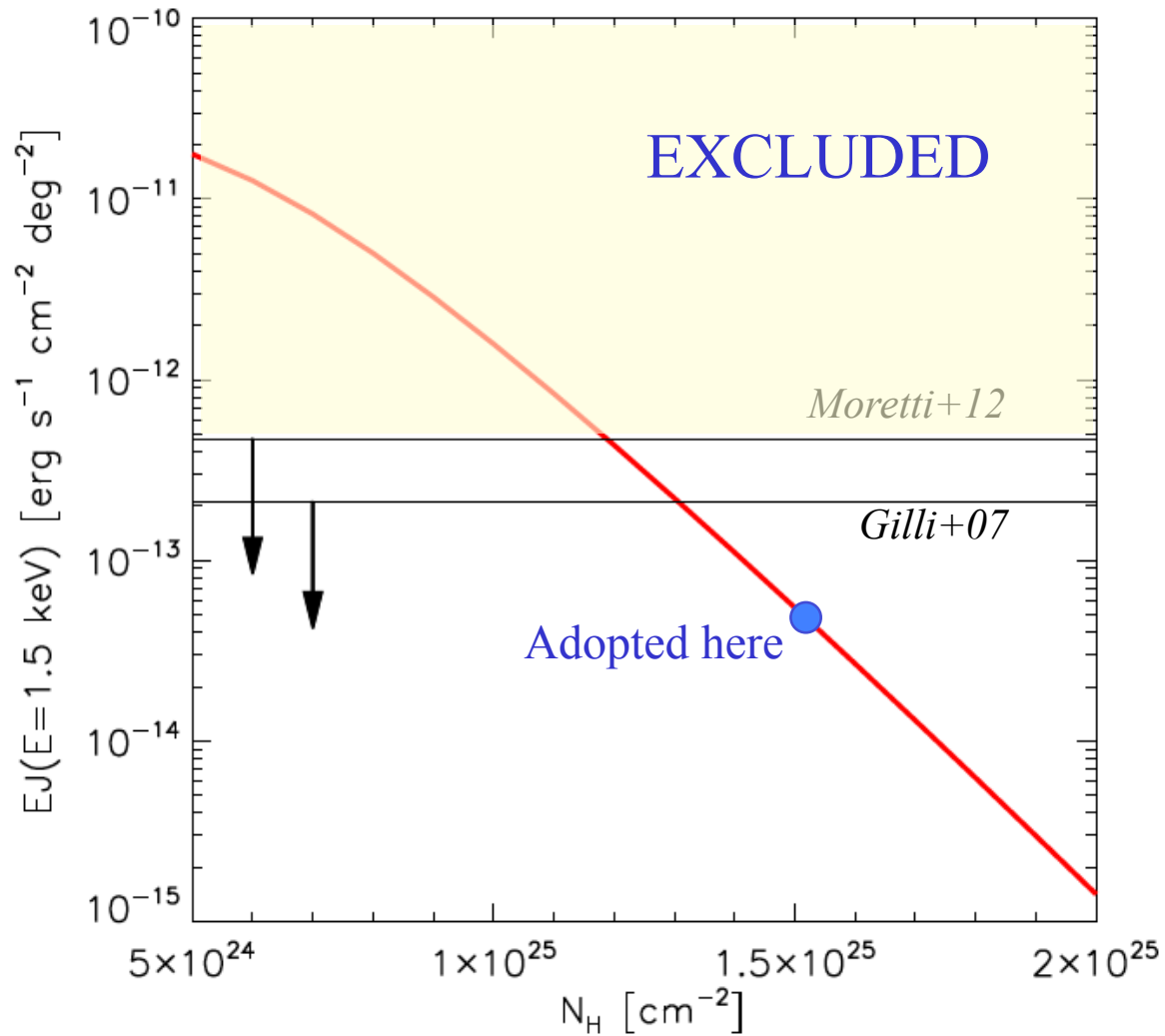


$M_{\bullet} = 10^6 M_{\odot}$
(Direct collapse black hole)

NIRB POWER SPECTRUM

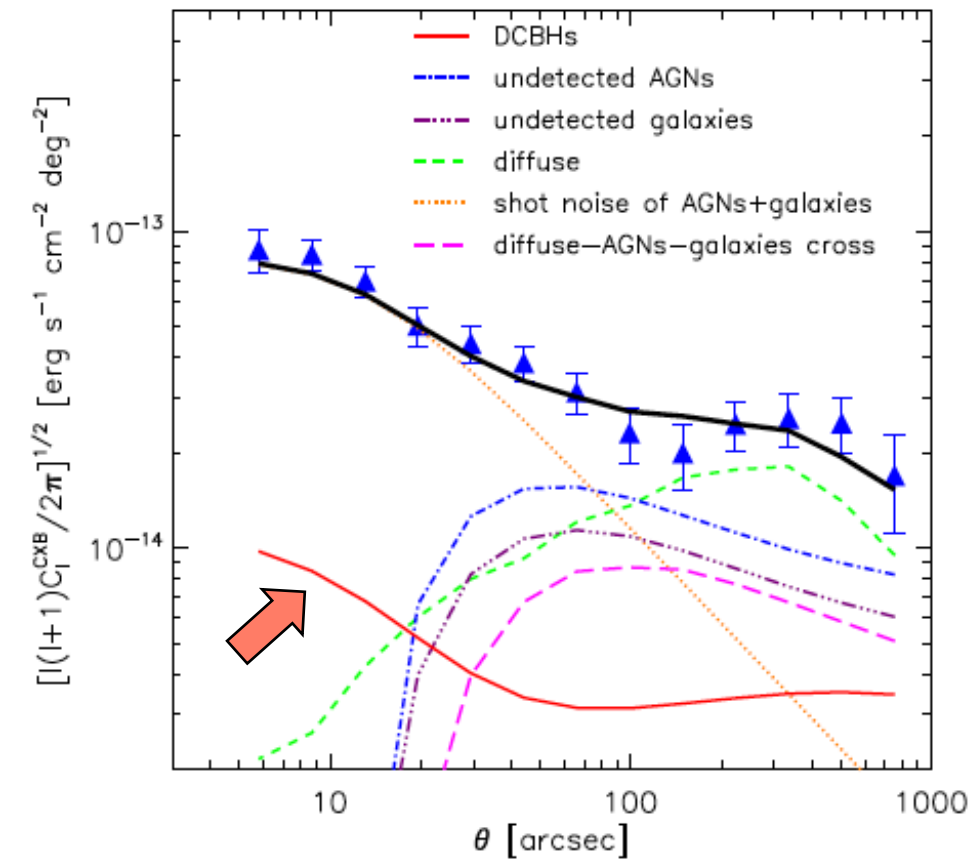


CXB CONTRIBUTION BY DCBH



THE XRAY CONNECTION

CXB Power spectrum



SELECTED SUMMARY

- ❖ $f_\gamma > 80\%$ of the ionizing power at $z > 7$ from halos of $M < 10^9 M_\odot$
- ❖ **kSZ** can be used to quantify the **X-ray** effects on reionization history
- ❖ Current **drop-out** high- z candidates are **not** the reionization sources
- ❖ Reionization sources populate the (steep) **faint-end of LF** ($M_{UV} > -18$)
- ❖ Their clustering signal $30\times$ **smaller** than observed NIRB **fluctuations**
- ❖ Highly obscured **DCBHs** in $T_{\text{vir}} \approx 10^4$ K metal-free halos at $z > 12$ could:
 - Explain 3.6 and 4.5 μm NIRB fluctuations on scales $> 100''$
 - Explain CXB-NIRB cross-correlation signal

THE END